

## Evaluating the expression of miRNAs in the culture medium of human embryos with normal sex chromosomes and embryos with an X sex chromosome (Turner syndrome)

Shahrazad Aghajani <sup>1</sup> , Ali Salehzadeh <sup>1\*</sup> , Fatemeh Ghasemian <sup>2</sup> , Marzieh Mehrafza <sup>3</sup> 

<sup>1</sup> Dept of Biology, Rasht Branch, Islamic Azad University, Rasht, Iran

<sup>2</sup> Dept of Biology, Faculty of Sciences, University of Guilan, Rasht, Iran

<sup>3</sup> Mehr Fertility Research Center, Guilan University of Medical Sciences, Rasht, Iran

---

### Article Info

### A B S T R A C T

**Article type:**

Research article

**Article History:**

Received: 15 April 2023

Revised: 19 May 2023

Accepted: 02 July 2023

Published Online: 14 October 2023

**\* Correspondence to:**

Ali Salehzadeh

Dept of Biology, Rasht Branch, Islamic Azad University, Rasht, Iran

Email:

salehzadeh@iaurasht.ac.ir

**Introduction:** Assisted reproductive techniques and Preimplantation Genetic Test (PGT) are performed to detect aneuploidy to achieve a euploid baby's birth in infertile or low-fertility couples. miRNAs are single-stranded, non-coding RNA molecules and essential regulators of gene expression in various biological and physiological processes. The present study aimed to investigate some miRNAs damaged in the culture media of human embryos (as diagnostic biomarkers) and their relationship with the degree of aneuploidy of the embryo and assisted reproductive methods.

**Material & Methods:** The PGT cycles derived sperm intracytoplasmic injection (April 2021 to June 2021) were evaluated using fluorescence in situ hybridization (FISH). Following that, the culture medium of three euploids and three aneuploid embryos with an X sex chromosome (Turner) was collected and the expression of has-miR-199a-5p, has-miR-199b-3p has-miR-379-5p, has-miR-483-5p, has-miR-99a-5p, and has-miR-432-5p were investigated using quantitative reverse transcription polymerase chain reaction (RT-qPCR).

**Findings:** In the culture medium of euploid embryos, a significant increase was observed in the expression of three miRNAs, including hsa-miR-379-5p, hsa-miR-199a-5p, hsa-miR-199b-3p. Moreover, a decrease was detected in the expression of three miRNAs, including hsa-miR-432-5p, hsa -miR-483-5p, and hsa-miR-99a-5p, with a significant difference ( $P<0.0001$ ). The expression of these miRNAs in the culture medium of Turner embryos with the model was the opposite.

**Discussion & Conclusion:** In examining the expression level of miRNAs investigated in this project, the increase in the expression of three miRNAs and the decrease in the expression of three other miRNAs in euploid embryos demonstrated the opposite expression pattern of the same miRNAs in Turner embryos. These results can be considered promising for using non-invasive methods instead of fetal biopsy in the diagnostic studies of the number of sex chromosomes.

**Keywords:** Fluorescence in Situ Hybridization (FISH), Genetic Testing, miRNA, Intracytoplasmic Sperm Injection, Preimplantation Spent Blastocyst Medium

---

### ➤ How to cite this paper

Aghajani S, Salehzadeh A, Ghasemian F, Mehrafza M. Evaluating the expression of miRNAs in the culture medium of human embryos with normal sex chromosomes and embryos with an X sex chromosome (Turner syndrome). Journal of Ilam University of Medical Sciences. 2023;31(4): 67-78.



© The Author(s)

Publisher: Ilam University of Medical Sciences

## بررسی بیان miRNA های محیط کشت جنین های انسانی با کروموزوم های جنسی طبیعی و جنین های با یک کروموزوم جنسی X (سندروم ترنر)

شهرزاد آقاجانی<sup>۱</sup>, علی صالحزاده<sup>۱\*</sup>, فاطمه قاسمیان<sup>۲</sup>, مرضیه مهرافزا<sup>۲</sup>

<sup>۱</sup> گروه زیست‌شناسی، واحد رشت، دانشگاه آزاد اسلامی، رشت، ایران

<sup>۲</sup> گروه زیست‌شناسی، دانشکده علوم پایه، دانشگاه گیلان، رشت، ایران

<sup>۳</sup> مرکز تحقیقات و درمان ناباروری مهر پویای گیل، دانشگاه گیلان، رشت، ایران

### اطلاعات مقاله

#### چکیده

#### نوع مقاله: پژوهشی

تاریخ دریافت: ۱۴۰۲/۰۱/۲۶

تاریخ ویرایش: ۱۴۰۲/۰۲/۲۹

تاریخ پذیرش: ۱۴۰۲/۰۴/۱۱

تاریخ انتشار: ۱۴۰۲/۰۷/۲۲

#### نویسنده مسئول:

علی صالحزاده

گروه زیست‌شناسی، دانشکده

علوم پایه، دانشگاه آزاد

اسلامی، رشت، ایران

Email:  
salehzadeh@iaurasht.ac.ir

**مقدمه:** روش های کمک باروری و آزمایش ژنتیکی پیش از لاهه گرینی (PGT) برای تشخیص آنوبولوئیدی، به منظور دستیابی

به تولد نوزاد یوپلوبloid و در زوجین نابارور یا کم بارور انجام می شود. RNA مولکول های RNA غیر رمزگذار

تک رشته ای و مهم تنظیم کننده پس از زنوبویسی بیان ژن در فرایندهای مختلف بیولوژیکی و فیزیولوژیکی هستند. هدف این مطالعه بررسی برخی miRNA های ترشح شده در محیط های کشت جنین های انسان (به عنوان نشانگرهای زیستی تشخیصی) و ارتباط آن با میزان آنوبولوئیدی جنین و نتایج روش های کمک باروری است.

**مواد و روش ها:** چرخه های PGT حاصل از تزریق درون سیتوپلاسمی اسپرم (از فور دین سال ۱۴۰۱ تا خرداد سال ۱۴۰۱)

با استفاده از مکمل سازی فلورسانس درجا (FISH) Fluorescence in situ hybridization ارزیابی شد. در ادامه، محیط

کشت سه جنین یوپلوبloid و سه جنین آنوبولوئید با یک کروموزوم جنسی X (ترنر) جمع آوری گردید و بیان hsa-miR-199a-5p, hsa-miR-199b-3p, hsa-miR-379-5p, hsa-miR-483-5p, hsa-miR-99a-5p, hsa-miR-432-5p با استفاده از RT-qPCR بررسی شد.

**یافته های پژوهش:** در محیط کشت جنین های یوپلوبloid، افزایش معنی دار میزان بیان سه miRNA شامل -379-

hsa-miR-432-5p, hsa-miR-483-5p, hsa-miR-199a-5p, hsa-miR-199b-3p

با اختلاف معنی دار  $P < 0.001$  مشاهده گردید. بیان این miRNA ها در محیط کشت جنین های ترنر

با الگو کاملاً عکس بود.

**بحث و نتیجه گیری:** در بررسی میزان بیان miRNA های بروزی شده در این طرح، افزایش بیان سه miRNA و کاهش بیان

سه miRNA دیگر در جنین های یوپلوبloid با الگو، بیان عکس همین miRNA ها در جنین های ترنر را نشان داد. این نتایج

می تواند نویزی بخش باشد و برای استفاده از روش های غیر تهاجمی به جای بیوسی جنین در بررسی های تشخیصی تعداد

کروموزوم های جنسی مورد توجه قرار گیرد.

**واژه های کلیدی:** تزریق داخل سیتوپلاسمی اسپرم، هیریداسیون فلورسنت درجا (FISH)، آزمایش ژنتیکی پیش از

lahه گرینی، miRNA، محیط کشت بلاستوسیست

**استناد:** آقاجانی، شهرزاد؛ صالحزاده، علی؛ قاسمیان، فاطمه؛ مهرافزا، مرضیه. بررسی بیان miRNA های محیط کشت جنین های انسانی با کروموزوم های

جنسي طبیعی و جنین های با یک کروموزوم جنسی X (سندروم ترنر). مجله دانشگاه علوم پزشکی ایلام، مهر ۱۴۰۲؛ ۳۱(۴): ۷۸-۶۷.



گاردنر و همکاران نشان دادند که HSA-MIR-P5B-26 و HSA-MIR-P5-21 می‌توانند به عنوان نشانگرهای زیستی بالقوه برای تولید مثل، با تشخوص پروفایل miRNA در محیط‌های کشت جنین انسان باشند (۱۰).

علی‌رغم سال‌ها تلاش برای بهبود روش‌های کمک‌باروری در انسان، تأثیرات مثبت و منفی استفاده از روش‌های تزریق درون سیتوپلاسمی اسپرم، انجماد، ذوب و بیوپسی برای انجام آزمایش‌های ژنتیکی پیش از لانه‌گزینی، در روند تکوین در آزمایشگاه، به عنوان مسائل حل نشده در این زمینه باقی‌مانده است (۱۱). امروزه، بررسی‌ها در سطح mRNAها بسیار پر کاربرد شده است و بررسی آن‌ها می‌تواند گام تشخیصی بزرگی در پیشبرد روش‌های تشخیص پیش از لانه‌گزینی به صورت کاملاً غیرتھاجمی باشد؛ از این‌رو، اینکه آیا می‌توان با تشخیص برخی miRNA خاص ترشح شده توسط جنین در محیط کشت جنین‌ها، از طبیعی بودن یا نبودن جنین‌ها مطلع شد، گامی مهم و اثربخش در عرصه درمان ناباروری و بررسی‌های ژنتیکی پیش از لانه‌گزینی خواهد بود.

فرض بر این بوده است که با تشخیص الگویی یا با miRNAهای محیط کشت جنین‌های انسانی با کروموزوم‌های جنسی طبیعی و جنین‌های با یک کروموزوم جنسی X (سندرم ترنر)، از وضعیت کروموزومی جنین حتی بدون انجام آزمایش ژنتیکی مطلع شد. نتایج قبل استناد در روش‌های غیرتھاجمی تشخیصی پیش از لانه‌گزینی روی جنین‌های انسانی می‌تواند بسیاری از نگرانی‌ها و آسیب‌های حاصل از روش‌های تھاجمی تشخیصی پیش از لانه‌گزینی بر جنین‌های انسانی را مرتفع سازد. هدف این مطالعه بررسی miRNAهایی که در محیط‌های زیستی تشخیصی کشت جنینهای انسان (به عنوان نشانگرهای زیستی تشخیصی) و ارتباط آن با میزان آنولوئیدی جنین و نتایج روش‌های کمک‌باروری است.

## مواد و روش‌ها

در این مطالعه، مشخصات یافته‌ها miRNA در ترشح شده توسط جنین‌های پیش از لانه‌گزینی، از طریق بررسی miRNAهای استخراج شده از محیط کشت در

ها مولکول‌های RNA غیر رمزگذاری تکرتهای و مهم تنظیم کننده در تنظیم پس از رونویسی یان ژن، در فرایندهای مختلف بیولوژیکی و فیزیولوژیکی هستند (۱). miRNAها می‌توانند سطح بسیاری از ژن‌های هدف را به طور همزمان، توسط توالی‌های مکمل جزئی و مداخلات بعدی با پایداری mRNA و یا ترجمه پروتئین تنظیم کنند (۲). از آنجاکه آن‌ها در محیط خارج سلولی پایدارند و یان غیرطبیعی آن‌ها با وضعیت فیزیولوژیکی یا پاتولوژیک همراه است، می‌توان mRNAها را به عنوان نشانگرهای جدید غیرتھاجمی درمان مدنظر قرار داد (۳). به طور گسترده‌ای گزارش شده است که mRNAها در کاشت جنین و نارسایی کاشت شرکت می‌کنند و نقش دارند (۴). باسان و همکاران پیشنهاد کردند که miR۳۱ در تنظیم دستگاه ایمنی در هنگام کاشت نقش داشته باشد (۶)، در حالی که راجو و همکاران شناس دادند که miR۲۶ ممکن است یک نشانگر نامزد برای بارداری بیشتر در گاوها باشد (۷). امروزه mRNAها در زمینه‌های مختلف پزشکی، از جمله روش‌های کمک‌باروری مورد توجه قرار گرفته‌اند.

یک روش ایدئال برای پیش‌بینی سلامت جنین نباید کاشت جنین را به خطر بیندازد. اعتقاد بر این بوده است که با جمع‌آوری mRNAهای ترشح شده در محیط‌های کشت جنینی جنین‌های انسان، به راحتی این امکان فراهم می‌آید که از آن‌ها به عنوان نشانگرهای زیستی غیرتھاجمی برای تعیین صلاحیت تولید مثلی جنین استفاده شود. تحقیقات گسترده‌ای را در زمینه توسعه غیرتھاجمی نشانگرها زیستی انجام داده‌اند که با هدف کلی بهبود میزان موفقیت کاشت و درمان IVF بوده است. جیانگ و همکاران miRNAهایی را که از جنین‌های پیش از کاشت به داخل محیط‌های کشت جنینی ترشح می‌شوند، تعزیز و تحلیل کردنده و مشخص نمودند که miR-634 با نتیجه مثبت بارداری ارتباط دارد (۸)؛ سپس در سال ۲۰۱۹، گراداستین و همکارانش گزارش دادند که فراوانی miR-p3b-19 در نمونه‌های محیط کشت (SCM) مرتبط با بارداری مثبت، به طور چشمگیری کمتر بود (۹).

از time RT-PCR و جلوگیری از موارد مثبت کاذب ناشی از تکثیر توالی‌های نوکلئوتیدی DNA، کارایی پرایمروها (efficiency) سنجیده گردید و پرایمروهای با کارایی ۹۸-۹۹ درصد استفاده شدند. جدول شماره ۱ ویژگی‌های پرایمروهای استفاده شده را نمایش می‌دهد. پرایمروهای ژن کترول داخلی از توالی‌هایی انتخاب گردید که در مطالعات پیشین استفاده شده بودند. پس از دریافت پرایمروهای ساخته شده به شکل پودر لیوفیزه از شرکت سازنده، رقیق‌سازی محلول پرایمر با غلظت ۱۰۰ pm/µl با افزودن آب مقطر اتوکلاو شده انجام و این محلول تا زمان استفاده در دمای ۲۰°C نگهداری شد. برای استفاده نهایی از پرایمر، این محلول رقیق‌سازی گردید و با غلظت ۱۰ pm/µl وارد واکنش نهایی شد.

انجام واکنش PCR Real-Time با SYBR2 PCR Real-Time kit: واکنش PCR کپی‌هایی از DNA الگورادر یک قالب تصاعدی ایجاد می‌کند. همان‌طور که از معنی واژه برمی‌آید، مفهوم Real-Time PCR مشاهده لحظه‌به‌لحظه فرایند است، به‌گونه‌ای که می‌توان میزان محصول PCR را هنگامی که هنوز در فاز تصاعدی است، محاسبه کرد. از کیت محصول شرکت Takara استفاده گردید که SYBR green دارد که یک رنگ فلورسانس است و پس از اتصال به DNA دورشته‌ای، نور فلورسانس ساطع می‌کند و توسط دستگاه ترموسایکلر قابل اندازه‌گیری است. در این واکنش، از cDNA ساخته شده در مرحله پیش‌باعنوان الگو استفاده شد. تکثیر ژن‌ها در دو تکرار و با استفاده از کیت‌های اختصاصی هر ژن و Master mix صورت گرفت.

آزمایشگاه جنین‌شناسی مرکز تحقیقات و درمان ناباروری مهر پویای گیل رشت ارزیابی شد. سنجش میان یک گروه سه‌تایی از جنین‌های یوپلولوئید از نظر کروموزوم‌های جنسی و گروه دوم سه‌تایی شامل جنین‌های آتیوپلولوئید (ترنر) انجام گردید که در فاصله زمانی فور درین ۱۴۰۱ تا خرداد ۱۴۰۱ تحت درمان IVF و آزمایش ژنتیکی پیش از لانه‌گزینی برای بررسی کروموزوم‌های جنسی بوده‌اند. نتایج برای بررسی نشانگرهای پیش‌بینی کننده بالقوه تجزیه و تحلیل شد.

جمع‌آوری نمونه محیط کشت جنین‌های انسانی: جنین‌های انسانی پس از انجام بیوپسی تک‌بلاستومر به قطرات جنینی شماره‌گذاری شده منتقل گردیدند. پس از انجام آزمایش ژنتیکی و مشخص شدن وضعیت کروموزوم‌های جنسی و با توجه به نتایج، مقدار ۱۰ میکرولیتر از محیط کشت جنینی (جنین‌های یوپلولوئید با دو کروموزوم جنسی و جنین‌های با یک کروموزوم جنسی X) توسط پیپت در میکروتیوب‌های شماره‌گذاری شده ریخته شد و به فریزر منفی ۸۰ درجه سانتی‌گراد منتقل گردید.

استخراج miRNA با استفاده از کیت یکتا تجهیز و دقیقاً بر اساس دستورالعمل کیت صورت گرفت. پس از تعیین مقدار و غلظت RNA استخراج شده، ساخت مولکول cDNA از روی RNA استخراج شده بر اساس دستورالعمل کیت Revert Aid TM First Strand cDNA Synthesis Kit (انجام شد؛ سپس کیفیت و غلظت RNA های استخراج شده توسط دستگاه نانودرایپ ارزیابی گردید.

پرایمروهای اختصاصی طراحی شده: پرایمروهای اختصاصی هر مارکر از روی مقالات رفنس انتخاب و سفارش داده شد. بهمنظور افزایش بازدهی واکنش-Real-

**جدول شماره ۱.** مشخصات توالی پرایمروها و اندازه محصولات به کارفته در واکنش Real-Time PCR

درصد	TM	اندازه (جفت باز)	توالی	پرایمر
miR-199b-3p				
۶۵	۵۵	۱۹	5'- GTCACAGTAGTCTGCACAT -3'	F
۶۶	۵۶	۱۷	-3' 5'- GTTGCAGGGTCCGAGGT	R
hsa-miR-199a-5p				
۵۳	۶۲	۲۳	5'- CCCAGTGTTCAGACTACCTGTT -3'	F
۶۰	۶۲	۲۰	5'- CAGTGCAGGGTCCGAGGTAT -3'	R
hsa-miR-379-5p				

F	5'- GCGCTGGTAGACTATGGAA -3'	۱۹	۵۹	۵۴
R	5'- GTGTCAGGTGTCCGAGGT -3'	۱۸	۵۸	۵۷
hsa-miR-432-5p				
F	'.5'- AACGAGACGACGACAGACT -3'	۱۹	۵۸	۵۴
R	5'- CTTGGAGTAGGTCATTGGGT -3'	۲۰	۶۰	۵۵
hsa-miR-99a-5p				
F	5'- AACCCGTAGATCCGATCTTGTG -3'	۲۲	۶۲	۵۴
R	5'- CACAAGATCGGATCTACGGGTT -3'	۲۲	۶۳	۵۴
hsa-miR-483-5p				
F	5'- CCGAGAACGGGAGGAAA -3'	۱۹	۶۲	۵۷
R	5'- CTCAACTGGTGTGCGTGGGA -3'	۱۸	۵۷	۵۵
human hsa-U6				
F	5'- TCCGACGCCGCCATCTCTA -3'	۱۹	۶۳	۵۸
R	5'- TATCGCACATTAAGCCTCTA -3'	۲۰	۶۱	۵۶

حاصل گردد و حتی الامکان از اشتباهاتی اجتناب شود که تفسیر نتایج را با مشکل مواجه می کند (مانند تشکیل primer dimer). پس از تعیین مقدار چرخه آستانه ( $C_t$ ) مربوط به ژن های پژوهش ما و مقایسه آن با  $C_t$  ژن کنترل داخلي، نتایج آنالیز شد. پس از انجام واکنش، داده های خام به صورت  $C_t$  از دستگاه استخراج گردید و اندازه گیری میزان یافته ژن را با روش  $\Delta\Delta C_t$ ، با استفاده از نرم افزار Rest صورت گرفت.

آنالیز آماری: آنالیز داده های Real time-PCR بر اساس مقایسه  $C_t$  انجام شد. در این مطالعه،  $\Delta C_t$  به دست آمده از نمونه های آزمایش شده (محیط کشت جنین های غیر طبیعی ترنر) و نمونه های کنترل (محیط کشت جنین های یوپلولوئید از نظر کروموزوم های جنسی) محاسبه گردید و با استفاده از فرمول  $\Delta\Delta C_t$ ، ژن هدف به نسبت به ژن کنترل داخلي (U6) از طریق سنجش  $\Delta\Delta C_t - 2 \Delta\Delta C_t$  محاسبه شد؛ سپس با استفاده از نرم افزار Graph pad vol.6، نمودار بیان ژن رسم گردید. از Tukey's HSD و one-way ANOVA آزمون های آماری post-hoc به منظور بررسی آماری میزان تغییرات بیان ژن ها استفاده شد؛ همچنین همه واکنش ها به صورت دو تکرار انجام گردید. این مطالعه کد اخلاق كار بر محیط کشت جنین های انسانی از کمیته اخلاق دانشگاه آزاد اسلامی واحد رشت به

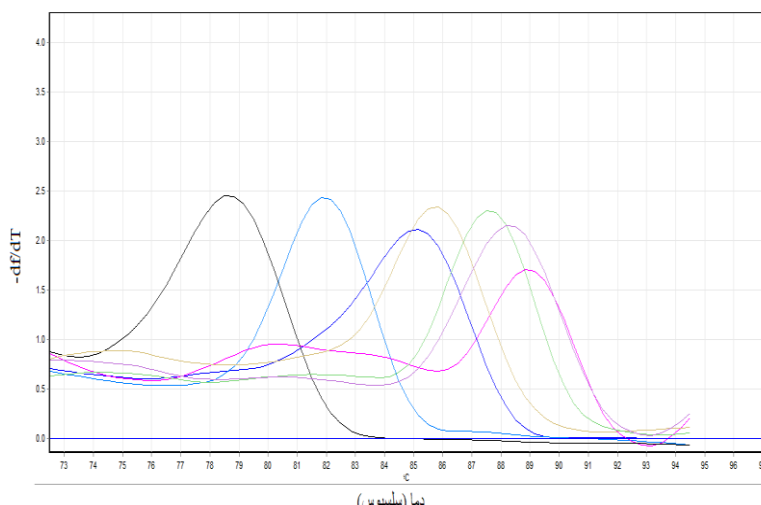
روش تفسیر نتایج: پس از پایان هر واکنش، تفسیر نتایج بر اساس منحنی های Amplification و Melting peak صورت گرفت. بدین منظور، در انتهای انجام هر نوبت آزمایش، پیک ذوب (Melting peak) مربوط به هر نمونه آزمایش شده بررسی گردید و چنانچه در محدوده دمایي منطبق بر دمای ذوب قطعه تکثیر شده (Amplicon melting temperature) ژن مورد بررسی قرار داشت، به عنوان جواب مثبت تلقی می شد. با توجه به اینکه دمای ذوب شاخصی است که تحت تأثیر غلظت یونی محیط تغییر می کند؛ بنابراین، در محدوده ۱ درجه بالاتر و پایین تر از میزان اعلام شده قابل قبول تلقی گردید. برای بررسی آلدگی های احتمالی از روش کنترل منفی استفاده شد. در این روش، یک واکنش Real time PCR با اجزای غلظت ها و همچنین دما و زمان های کاملاً مشابه با واکنش اصلی انجام می شود که بدون cDNA الگو است؛ بنابراین، اصطلاحاً به آن No Template Control یا NTC اختصار می گردد. منفی بودن نتیجه این واکنش به مفهوم نبود آلدگی در اجزای استفاده شده در واکنش است.

اجزا و دمای های واکنش در مراحل setup مقدماتی تحقیق به گونه ای تنظیم شد که بهینه ترین نتایج برای ژن ها

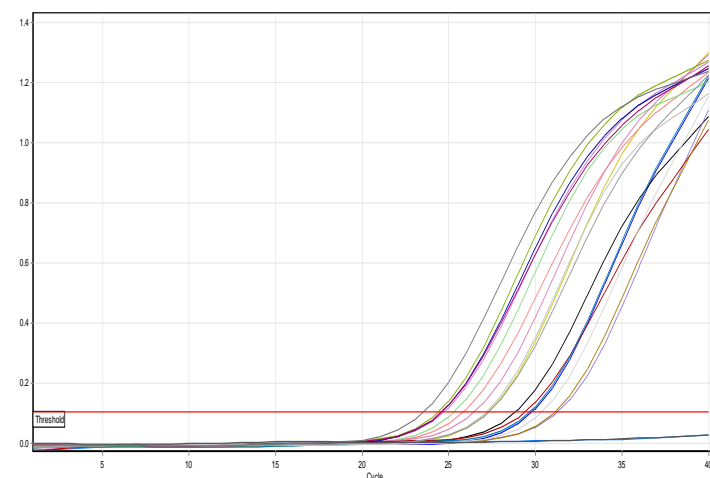
شماره I.R.IAU.RASHT.REC.1398.053 دارد.

## یافته های پژوهش

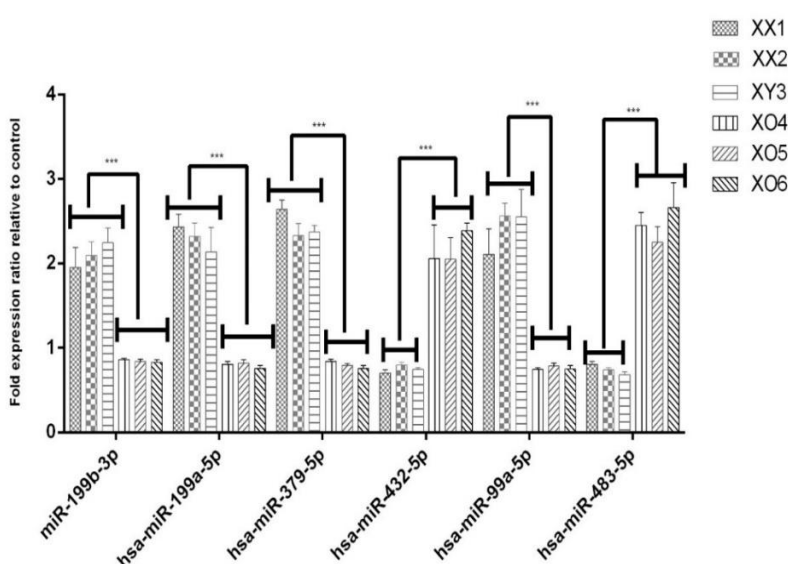
بررسی منحنی ذوب و تکثیر واکنش Real-time PCR ژن های مطالعه شده نشان داد که تکثیر ژن ها بدون آلدگی است و قطعات مدنظر به خوبی تکثیر شده اند. شکل های شماره ۱ و ۲ به ترتیب منحنی ذوب و تکثیر ژن های مطالعه شده را نمایش می دهد. نتایج به دست آمده از آنالیز آماری این شش miRNA در گروه های مطالعه که شامل محیط کشت سه جنین یوپلولئید از نظر کروموزوم جنسی که سلامت شان توسط آزمایش FISH بررسی شده بود و توسط پروب های رنگی کاملاً طبیعی و واضح کروموزوم های X و Y در آن ها مشاهده شده است، با محیط کشت سه جنین آنیوپلولئید از نظر کروموزوم های جنسی و با یک کروموزوم جنسی X (سندروم ترنر) نشان می دهد که میزان بیان این miRNA ها در جنین های یوپلولئید و آنیوپلولئید الگوی متفاوتی را نشان می دهد که از نظر آماری نیز کاملاً معنی دار است. hsa-miR-379-5p, hsa-miR-199a-5p, hsa- miR-199b-3p در محیط کشت جنین های یوپلولئید به طور معنی داری افزایش دارد و بیان hsa-miR-432-5p, hsa-miR-483-5p, hsa-miR-99a-5p, hsa-miR-199a-5p, hsa-miR-199b-3p کاهش را نشان داد، در حالی که بیان این miRNA ها در محیط کشت جنین های ترنر با یک



شکل شماره ۱. منحنی ذوب مربوط به hsa-miR-379-5p, hsa-miR-483-5p, hsa-miR-99a-5p, hsa-miR-432-5p hsa-miR-199a-5p و hsa-miR-199b-3p در محیط کشت یک جنین یوپلولئید (نرم افزار has-U6-Rest) به عنوان رفرنس در مطالعه قرار گرفته است.



شکل شماره ۲. تکثیر محصولات در Real-time PCR بر حسب سیکل (Ct). مراحل فاز خطی، فاز رشد نمایی تا رسیدن به فاز اشباع در این نمودار به خوبی نشان داده شده است. نمودارهای ذوب به صورت تجمعی ارائه گردیده‌اند (نرم افزار Rest.).



شکل شماره ۱. نتایج آنالیز آماری بیان شش miRNA در نمونه‌های یوپلوئید و آنیوپلوئید (ترنر) از نظر کروموزوم‌های جنسی در جنین‌های انسانی.

جدول شماره ۲. مقایسه تک به تک و دقیق میزان بیان miRNA های محیط کشت جنین‌ها با یکدیگر. بررسی دقیق فاصله اطمینان نتایج معنادار بیان miRNA های محیط کشت جنین‌های یوپلوئید با جنین‌های ترنر با ضریب معناداری کمتر از ۰/۰۰۰۱ را برای بیان سه hsa-miR-379-5p, hsa-miR-199a-5p, hsa-miR-432-5p, hsa-miR-483-5p, hsa-miR-99a-5p در جنین‌های یوپلوئید نشان می‌دهد (نرم افزار Rest.).

آزمون مقایسه‌ای Tukey's چندگانه	خطای اطمینان	فاصله اطمینان ۹۵ درصد	معناداری	مقدار احتمال P Value
hsa-miR-199b-3p				
XX1 vs. XX2, XY3	۲۹/۰-؛ ۱۴/۰-	۱۹/۰ تا ۷۷/۰-؛ ۳۴/۰ تا ۶۲/۰-	بی معنا	۰/۹۵ ۰/۴۶
XX1 vs. X04, X05, X06	۱/۱۱؛ ۱/۱۲؛ ۱/۱۳	۶۰/۱ تا ۶۲/۰؛ ۵۹/۱ تا ۵۷/۱؛ ۶۴/۰ تا ۶۵/۱	معنادار	<۰/۰۰۰۱
XX2 vs. XY3	۱۵/۰-	۳۳/۰ تا ۶۳/۰-	بی معنا	۰/۹۳

XX2 vs. XO4, XO5, XO6	٢٧/٤١ ٢٦/٤١ ٢٤/١	٧٤/١ تا ٧٩/٤٠ ٧٣/١ تا ٧٨/٤٠ ٧١/١ تا ٧٦/٠	معنadar	<٠/٠٠٠١
XY3 vs. XO4, XO5, XO6	٤٢/٤١ ٤١/٤١ ٣٩/١	٨٩/١ تا ٩٤/٤٠ ٨٨/١ تا ٩٣/٤٠ ٨٦/١ تا ٩١/٠	معنadar	<٠/٠٠٠١
XO4 vs. XO5, XO6	٠٣/٤٠ ٠٢/٠	٥١/٠ تا ٤٥/٠٠- ٤٥/٠٠- ٤٥/٠٠-	بی معنا	>٠/٩٩
XO5 vs. XO6	٠١/٠	٤٩/٠ تا ٤٧/٠٠	بی معنا	>٠/٩٩
hsa-miR-199a-5p				
XX1 vs. XX2, XY3	٣٠/٤٠ ١١/٠	٧٧/٠ تا ١٨/٠٠- ٤٥٩/٠٠- ٣٦/٠٠-	بی معنا	٠/٩٨ ٤٣/٤٣
XX1 vs. XO4, XO5, XO6	٦٨/٤١ ٦١/٤١ ٦٢/١	١٥/٢ تا ٢٠/٤١ ١٤/٤١ ١٠/٢ تا ١٥/١	معنadar	<٠/٠٠٠١
XX2 vs. XY3	١٩/٠	٦٦/٠ تا ٢٩/٠٠	بی معنا	٠/٨٥
XX2 vs. XO4, XO5, XO6	٥٧/٤١ ٥١/٤١ ٥٠/١	٠٤/٢ تا ٩٨/١٠٣/٤١ ٩٩/١ تا ٠٩/٤١	معنadar	<٠/٠٠٠١
XY3 vs. XO4, XO5, XO6	٣٨/٤١ ٣٢/٤١ ٣٣/١	٨٦/١ تا ٨٥/٠٠ ٨١/١٠ ٧٩/١٠ ٨٤/٤٠ ٩٠/٤٠ ٧٩/١ تا ٨١/٠٠	معنadar	<٠/٠٠٠١
XO4 vs. XO5, XO6	٠٥/٤٠ ٠٢/٠٠	٥٣/٠ تا ٤٩/٠٠- ٤٣/٠٠- ٤٦/٠٠-	بی معنا	>٠/٩٩ ٠٠/٩٩
٦ vs. XO5XO	٠٧/٠	٥٤/٠ تا ٤١/٠٠	بی معنا	٠/٩٩
hsa-miR-379-5p				
XX1 vs. XX2, XY3	٢٧/٤٠ ٣١/٠	٧٤/٠ تا ١٧/٠٠- ٤٧٩/٠٠- ٢١/٠٠-	بی معنا	٠/٣٨ ٤٠/٥٦
XX1 vs. XO4, XO5, XO6	٨٩/٤١ ٨٤/٤١ ٨٠/١	٣٦/٢ تا ٤١/٤١ ٣٢/٢٦ ٣٧/٤١ ٢٨/٢٦ ٣٣/١	معنadar	<٠/٠٠٠١
XX2 vs. XY3	٠٥/٠٠-	٤٣/٠ تا ٥٢/٠٠	بی معنا	٠/٩٩
XX2 vs. XO4, XO5, XO6	٥٨/٤١ ٥٤/٤١ ٤٩/١	٠٥/٢ تا ١٠/١٠ ٩٦/١٠ ٢/١٠ ١٠/١٠ ٦٩٦/١٠ ٢/١	معنadar	<٠/٠٠٠١
XY3 vs. XO4, XO5, XO6	٦٢/٤١ ٥٨/٤١ ٥٤/١	٠٩/٢ تا ١٠/١٠ ١١/٤١ ١٥/٢٠ ٥/١٠ ٥٠/١٠ ٦٢/٠٠ ١٥/١٠ ١٥/٢٠ ٥/١٠ ٥٠/١٠ ٦٢/٠٠	معنadar	<٠/٠٠٠١
٦XO4 vs. XO5, XO	٠٨/٤٠ ٠٤/٠	٥٦/٠ تا ٣٩/٠٠- ٤٣/٠٠-	بی معنا	٠/٩٩
٦XO5 vs. XO	٠٤/٠	٥٢/٠ تا ٤٤/٠٠	بی معنا	٠/٩٩
hsa-miR-432-5p				
XX1 vs. XX2, XY3	٠٤/٠٠- ٤٠٩/٠٠-	٤٤/٠ تا ٥٢/٠٠- ٣٩/٤٠ ٥٧/٠٠-	بی معنا	٠/٩٩
XX1 vs. XO4, XO5, XO6	٩٨/١٠- ٣٤/١٠- ٣٥/١٠-	١٦/٢٠- ٤٨٣/٠٠- ٤٨٢/٠٠- ٤٨٧/٠٠- ٤٨٣/٠٠- ٤٨٢/٠٠- ٤٨٣/٠٠-	معنadar	<٠/٠٠٠١
XX2 vs. XY3	٠٥/٠	٥٣/٠ تا ٤٢/٠٠	بی معنا	٠/٩٩
XX2 vs. XO4, XO5, XO6	٥٩/١٠- ٢٥/١٠- ٢٦/١٠-	٧٤/١٠- ٤٧٣/١٠- ٤٧٨/٠٠- ٤٧٨/٠٠- ٤٧٣/١٠- ٤٧٨/٠٠-	معنadar	<٠/٠٠٠١
XY3 vs. XO4, XO5, XO6	-٤٣١/١٠- ٤٣١٥/١٠- ٦٤/١	١١/١٠- ٧٩/١٠- ٧٨/٠٠- ٧٨/٠٠- ٧٩/١٠- ٧٨/٠٠- ٧٨/٠٠- ٧٩/١٠- ٧٨/٠٠-	معنadar	<٠/٠٠٠١
XO4 vs. XO5, XO6	٣٣/٠٠- ٠١/٠	١٥/٠ تا ٤٧/٠٠- ٤٨٠/٠٠- ٤٨٠/٠٠-	بی معنا	>٠/٩٩ ٠٠/٣٣
XO5 vs. XO6	٣٤/٠٠-	١٤/٠ تا ٨١/٠٠	بی معنا	٠/٢٩
hsa-miR-99a-5p				

XX1 vs. XX2, XY3	۴۵/۰-، ۴۵/۰-	۰۳/۰ تا ۹۲/۰-، ۰۲/۰ تا ۹۳/۰-	بی معنا	۰/۰۷، ۰/۰۸
XX1 vs. XO4, XO5, XO6	۳۵/۱۳۲، ۱۳۶/۱	۸۳/۱ تا ۸۸/۰، ۷۹/۱ تا ۸۴/۰	معنادار	<۰/۰۰۱
XX2 vs. XY3	۰/۱۰	۴۸/۰ تا ۴۶/۰-	بی معنا	>۰/۹۹
XX2 vs. XO4, XO5, XO6	۸۱/۱۱۷۷، ۱۸۱/۱	۲۸/۲ تا ۳۳/۱، ۱۲۵/۲ تا ۱۲۹/۲	معنادار	<۰/۰۰۱
XY3 vs. XO4, XO5, XO6	۸۰/۱۱۷۶، ۱۸۱/۱	۲۷/۲ تا ۳۳/۱، ۱۲۸/۲ تا ۲۴/۲	معنادار	<۰/۰۰۱
XO4 vs. XO5, XO6	۰/۱۰-، ۰/۰۴۰-	۴۷/۰ تا ۰/۰۴۳	بی معنا	۰/۹۹
XO5 vs. XO6	۰/۰۴۰	۵۱/۰ تا ۴۴/۰-	بی معنا	>۰/۹۹
hsa-miR-483-5p				
XX1 vs. XX2, XY3	۱۲/۰۰، ۰/۰۷۰	۶۰/۰ تا ۰/۰۵۵	بی معنا	۰/۹۹، ۰/۰۹۷
XX1 vs. XO4, XO5, XO6	۸۶/۱۴۵۰، ۱۴۶۵/۱-	-۹۷/۰ تا -۱۷/۱، -۹۲/۰ تا -۱۲/۲-	معنادار	<۰/۰۰۱
XX2 vs. XY3	۰/۰۶۰	۵۳/۰ تا ۰/۰۴۲	بی معنا	۰/۹۹
XX2 vs. XO4, XO5, XO6	۹۲/۱۴۵۱، ۱۴۷۱/۱-	-۹۹/۱ تا -۰/۰۲۴، -۰/۰۴۰ تا -۰/۰۴۰	معنادار	<۰/۰۰۱
XY3 vs. XO4, XO5, XO6	۹۷/۱۴۵۶، ۱۴۷۶/۱-	-۰/۰۴۰ تا -۰/۰۲۹، -۰/۰۴۵	معنادار	<۰/۰۰۱
XO6 vs. XO4 vs. XO5	۲۱/۰-، ۰/۰۲۰	۲۷/۰ تا ۰/۰۶۷	بی معنا	۰/۰۸۰، ۰/۰۷۷
XO5 vs. XO6	۰/۰۴۱	۰/۰۸۹ تا ۰/۰۶۵	بی معنا	۰/۰۱۲

توجه:  $P < 0.05$  از نظر آماری بی معنا در نظر گرفته شد و  $t$  تست و یا آزمون فیشر دقیق مبنای قرار گرفت.

است. آثار روش‌های تهاجمی بررسی جنین‌ها پیش از لانه‌گرینی همواره مورد بحث و بررسی است و مطالعاتی با داده‌هایی ناهمسو از آن موجود است (۱۱). در مطالعه حاضر، تفاوت RNAهای میان جنین‌های یوپلولید از نظر کروموزوم‌های جنسی در برابر جنین‌های ترنر (با یک کروموزوم جنسی X) سنجیده شد. تفاوت معنی‌دار بیان بیشتر hsa-miR-379-5p, hsa-miR-199a-5p, hsa-<sub>miRNA</sub> سه hsa-miR-199b-3p در جنین‌های یوپلولید و در مقابل، بیان کمتر hsa-miR-432-5p, hsa-miR-483-5p, hsa-<sub>miRNA</sub> سه miR-99a-5p مشاهده گردید. الگوی بیان این miRNAها کاملاً عکس RNAهای محیط کشت جنین‌های ترنر بود. اخیراً نقش انواع نشانگرهای زیستی از جمله miRNAها، پروتئین‌ها و هورمون‌ها در محیط کشت جنین، به طور گسترده مورد مطالعه قرار گرفته است. بورگس و همکاران

## بحث و نتیجه‌گیری

با توجه به محدودیت‌ها و میزان موقیت اندک IVF ناشی از شکست لانه‌گرینی پس از درمان ET, IVF-ET, بررسی بیومارکرها برای کیفیت جنین و پیش‌بینی نتایج انتقال جنین می‌تواند به توسعه روش‌های کمک‌باروری کمک کند (۱۲). فن‌های غیرتهاجمی بررسی ژنتیکی کروموزوم‌های جنین‌ها به‌ویژه بررسی‌های دقیق مولکولی و تشخیصی در سطح RNAها، در دهه اخیر بسیار مورد توجه دانشمندان و پژوهشگران بوده است، به‌ویژه به دنبال شباهتی که در باره آسیب به جنین در طول نمونه‌برداری و یا کاهش پتانسیل تکوین و لانه‌گرینی و به دنبال آن، شناسنامه‌برداری وجود دارد. علی‌رغم پیشرفت‌های بسیار در آزمایش‌های ژنتیکی از جمله استفاده از توالی‌بایی نسل جدید (NGS) و انجام عمل بیوپسی روی جنین، به علت کاهش پتانسیل تکوینی، همچنان چالش‌برانگیز

miRNA ها در جنین های پیش از لانه گزینی، نیاز به کاوش بیشتری دارد.

از آنجاکه بیان پیش از حد miR-483-5p تکثیر سلول های گلیوم را سر کوب می کند و باعث توقف G0/G1 می گردد، به عنوان یک سر کوب کننده تومور در نظر گرفته می شود (۱۸). گزارش شده است که miR-483-5p غلظت پروژسترون را در یک رده سلولی تومور مانند گرانولوزای انسان استروئیدوژن تنظیم می کند (۱۹). miR-483-5p با تنظیم پایین در سلول های کومولوس تخمک متافاز II از زنان مبتلا به سندرم تخدمان پلی کیستیک مشاهده شد (۲۰) و یک مطالعه اکتشافی نشان داد که miR-483-5p تنظیم نشده با پیامدهای نامطلوب مرتبط با بارداری مرتبط است (۲۱). گزارش شده است که miR-483-5p یک تنظیم کننده اختصاصی سطح MeCP2 در مغز جنین انسان است (۲۲) در حالی که کاهش miR-483-5p در جفت بیماران مبتلا به مسمومیت بارداری (پره اکلامپسی) و زایمان زودرس در مقایسه با زمان طبیعی حاملگی مشاهده شد که نشان می دهد تغییر بیان و عملکرد بیمار ممکن است با عوارض بارداری مرتبط باشد (۲۳). در این مطالعه، بیان کمتر سه miRNA hsa-miR-432-5p, hsa-miR-483-5p, hsa-miR-99a-5p در نمونه محیط کشت گروه جنین های بادو کروموزوم جنسی طبیعی شناسایی شد، در حالی که دقیقاً همین سه miRNA گروه جنین های با یک کروموزوم جنسی X و سندروم ترنر، بیان بالاتری را به صورت معناداری نشان دادند. این یافته ها ممکن است نشان دهد که این سه miRNA نقش متمایز و منحصر به فردی را در تنظیم تعداد کروموزوم های جنین ایفا می کند.

در سال های اخیر، نقش miR-432-5p در سرطان ها به طور گسترده مطالعه شده است. مطالعه پیشین نشان داد که کاهش miR-432-5p با هدف قرار دادن E2F3 باعث رشد و مهاجرت سلول های سرطان سینه می شود (۲۴)؛ همچنین گزارش شده است که miR-432-5p با فعال کردن سیگنال دهی Wnt/β-catenin و ترویج رشد و متاستاز سلولی در کارسینوم سلول های کبدی انسان، در تسهیل پیشرفت سلولی نقش دارد (۲۵، ۲۶). یانگ و همکاران گزارش کردند

پیشنهاد کردند که miR-142-3p ممکن است یک نشانگر زیستی بالقوه برای شکست کاشت بلاستوسیست باشد (۱۳) و افزایش سطح آپولیپروتئین A1 در محیط کشت حاوی بلاستوسیست های با درجه مورفو لوژیکی بالاتر وجود دارد که ممکن است نقش لیپوپروتئین ها را در رشد جنینی اولیه نشان دهد (۱۴). یانگ و همکاران گنادولتروپین جفتی بتا انسانی (HCG) ترشح شده را به عنوان یک نشانگر زیستی مفید برای انتخاب جنین در روش IVF-ET نشان دادند (۱۵)، در حالی که یانگ و همکاران گزارش دادند که غلظت HCG در محیط کشت ارتباط مثبتی با وضعیت رشد اولیه جنین و نرخ لانه گزینی دارد و بنابراین، به عنوان یک نشانگر مفید برای انتخاب جنین در روش IVF-ET عمل می کند (۱۵). در این پژوهش، پروفایل های شش miRNA ترشح شده از جنین های پیش از لانه گزینی در نمونه های محیط کشت میان یک گروه جنین های با کروموزوم های جنسی طبیعی و یک گروه با یک کروموزوم جنسی X که تحت درمان IVF و آزمایش ژنتیکی پیش از لانه گزینی قرار گرفته بودند، به عنوان نشانگرهای زیستی، برای مقایسه با نتایج آزمایش ژنتیکی تجزیه و تحلیل گردید. در مجموع، شش miRNA شناخته شده در نمونه های محیط کشت گروه باردار شناسایی شد و از میان آن ها، سه hsa-miR-483-5p hsa-miR-199a-5p miRNA شامل hsa-miR-432-5p در محیط کشت جنین های با دو کروموزوم جنسی سالم، بیان بالاتری داشتند.

شواهد چشمگیری نشان داده اند که miR-199a-5p در سرطان های مختلف نقش دارد (۱۶) و گزارش شده است که mmu-miR-199a-5p، خود تجدید سلول های بنیادی جنینی موش را خاموش می کند (۱۷). یانگ و همکاران گزارش دادند که در مقایسه با یک گروه لقاح داخل بدن، miR-199a-5p با تنظیم پایین در بلاستوسیست های IVF مسئول پتانسیل رشد کمتر و زنده ماندن بعدی است (۱۹). در مجموع، در طرح حاضر به این نتیجه رسیدیم که بیان hsa-miR-379-5p, hsa-miR-199a-5p, miRNA های hsa-miR-199b-3p ارتباط نزدیکی با تعداد کروموزوم های جنسی جنین دارد؛ اما سازوکار اساسی الگویابی بیان این

نگفته بود، نقطه قوت این طرح را نشان می دهد. این نتایج ممکن است با تنظیم ژن های هدف در تعداد کروموزوم های جنسی جنین نقش داشته باشد و امکان استفاده از miRNA های ترشح شده توسط جنین ها در محیط کشت را به عنوان نشانگرهای زیستی غیرتهاجمی، برای پیش بینی نتایج آزمایش های ژنتیکی پیش از لانه گرینی نشان می دهد.

### سپاس گزاری

از همکاری های صمیمانه پروفسور احمد حسینی و خانم دکتر مرضیه مهرافزا، رئیس و مدیر عامل مرکز تحقیقات و درمان ناباروری مهر پویای گیل رشت، برای در اختیار گذاشتن امکانات آزمایشگاهی تشكیر و قدردانی می کنیم.

### تعارض منافع

بدین وسیله همه نویسندها اظهار می دارند که هیچ تعارض منافعی درباره این تحقیق وجود ندارد. تمام نویسندها در طراحی، اجرا و نگارش همه بخش های پژوهش حاضر مشارکت داشته اند.

کد اخلاق: IR.IAU.RASHT.REC.1398.053

### References

- Palermo G, Joris H, Devroey P, Van Steirteghem AC. Pregnancies after intracytoplasmic injection of single spermatozoon into an oocyte. *Lancet* 1992; 340:17-8. doi: 10.1016/0140-6736(92)92425-F.
- Yang D, Brown SE, Nguyen K, Reddy V, Brubaker C, Winslow KL. Live birth after the transfer of human embryos developed from cryopreserved oocytes harvested before cancer treatment. *Fertil Steril* 2007; 1: 87:1469-e1. doi: 10.1016/j.fertnstert.2006.07.1546.
- Edwards RG, Steptoe PC, Purdy JM. Fertilization and cleavage in vitro of preovulatory human oocytes. *Nature* 1970; 26:227:1307-9. doi:10.1038/2271307a0.
- Niu X, Wang CT, Li R, Haddad G, Wang W. Is day 7 culture necessary for in vitro fertilization of cryopreserved/warmed human oocytes? *Reprod Biol Endocrinol* 2020; 18:1-4. doi: 10.1186/s12958-020-0565-9.
- Singla S, Iwamoto-Stohl LK, Zhu M, Zernicka-Goetz M. Autophagy-mediated apoptosis eliminates aneuploid cells in a mouse model of chromosome mosaicism. *Nat Commun* 2020; 11:2958. doi: 10.1038/s41467-020-16796-3.

که سطوح پایین تری از miR-432-5p هم در بافت ها و هم در سلول های گلیوم مشاهده گردید (۲۷). بر اساس بررسی ها، هیچ مطالعه ای وجود ندارد که miR-432-5p را با کاهش تعداد کروموزوم های جنسی جنین مرتبط کند. در مطالعه حاضر، بیان hsa-miR-432-5p در نمونه محیط کشت گروه جنین های با کروموزوم جنسی طبیعی افزایش بیان داشت که نشان دهنده تأثیر تعداد کروموزوم های جنسی در بیان بالاتر این miRNA ها است، هر چند نقش hsa-miR-432-5p در تعداد کروموزوم های جنسی جنین باید بیشتر مطالعه شود.

محدودیت های مطالعه حاضر، فراوانی اندک qRT mRNA ها و حجم اندک نمونه است. اگرچه نتایج PCR قابلیت اطمینان نتایج توالی بایی RNA ما را نشان می دهد، آزمایش های ex-vivo برای تأیید نقش miRNA های بررسی شده در این مطالعه مورد نیاز است و اعتبار بالینی با حجم نمونه بزرگ تر الزامی است تا اثربخشی آن را تأیید کند.

یافته های حاصل از بررسی و تحلیل بیان شش ذکر شده که تاکنون بررسی مشابه آن صورت

- Bassan S. Different but same: A call for a joint pro-active regulation of cross-border egg and surrogacy markets. *Health Matrix Clevel* 2018; 28:323-374.
- Rama Raju GA, Jaya Prakash G, Murali Krishna K, Madan K. Neonatal outcome after vitrified day three embryo transfers: a preliminary study. *Fertil Steril* 2009; 92:143-8. doi: 10.1016/j.fertnstert.2008.05.014.
- Jiang B, Li W, Stewart S, Ou W, Liu B, Comizzoli P, et al. Sand-mediated ice seeding enables serum-free low-cryoprotectant cryopreservation of human induced pluripotent stem cells. *Bioac Mater* 2021; 6:4377-88. doi: 10.1016/j.bioactmat.2021.04.025.
- Gradstein SR, Hekking WH. Studies on Colombian Cryptogams IV. A catalog of the Hepaticae of Colombia. *J Hattori Bot Lab* 1979; 455:93-144.
- Gardner D, Weissman A, Howles CM, Shoham Z. Textbook of Assisted Reproductive Techniques: Volume 2: Clinical Perspectives: CRC Press. 2017; P.468-76.
- Aghajani S, Salehzadeh A, Ghasemian F, Mehrafza M, Hosseini A. Effect of Single Embryo Blastomere Biopsy from Human Frozen Embryos on Assisted Reproductive Outcomes. *Cell J* 2022; 24:628-36. doi: 10.22074/cellj.2022.8328.

12. Norwitz ER, Schust DJ, Fisher SJ. Implantation and the survival of early pregnancy. *New England J Med* 2001; 345:1400-8. doi: 10.1056/NEJMra000763.
13. Borges Jr E, Setti AS, Braga DP, Geraldo MV, Rita de Cássia SF, Iaconelli Jr A. miR-142-3p as a biomarker of blastocyst implantation failure-A pilot study. *JBRA Assist Reprod* 2016; 20:200-205. doi: 10.5935/1518-0557.20160039.
14. Mains LM, Christenson L, Yang B, Sparks AE, Mathur S, Van Voorhis BJ. Identification of apolipoprotein A1 in the human embryonic secretome. *Fertil Steril* 2011; 96:422-7. doi: 10.1016/j.fertnstert.2011.05.049.
15. Wang H, Zhang R, Han D, Liu C, Cai J, Bi Y, et al. Association of human chorionic gonadotropin level in embryo culture media with early embryo development. *Nan Fang Yi Ke Da Xue Xue Bao* 2014; 34:1039-41, 1047.
16. Tan K, Wang X, Zhang Z, Miao K, Yu Y, An L, et al. Downregulation of miR-199a-5p disrupts the developmental potential of in vitro-fertilized mouse blastocysts. *Biol Reprod* 2016; 95:54-1. doi: 10.1093/biolreprod.116.141051.
17. Wang Y, Melton C, Li YP, Shenoy A, Zhang XX, Subramanyam D, et al. miR-294/miR-302 promotes proliferation, suppresses G1-S restriction point, and inhibits ESC differentiation through separable mechanisms. *Cell Rep* 2013; 4:99-109. doi: 10.1016/j.celrep.2013.05.027.
18. Wang L, Shi M, Hou S, Ding B, Liu L, Ji X, et al. MiR-483-5p suppresses the proliferation of glioma cells via directly targeting ERK1. *FEBS Lett* 2012; 586:1312-17. doi: 10.1016/j.febslet.2012.03.035.
19. Sang Q, Yao Z, Wang H, Feng R, Wang H, Zhao X, et al. Identification of microRNAs in human follicular fluid: characterization of microRNAs that govern steroidogenesis in vitro and are associated with polycystic ovary syndrome in vivo. *J Clin Endocrinol Metab* 2013; 98:3068-79. doi: 10.1210/jc.2013-1715.
20. Shi L, Liu S, Zhao W, Shi J. miR-483-5p and miR-486-5p are down-regulated in cumulus cells of metaphase II oocytes from women with polycystic ovary syndrome. *Reprod Biomed Online* 2015; 31:565-72. doi: 10.1016/j.rbmo.2015.06.023.
21. Rodosthenous RS, Burris HH, Sanders AP, Just AC, Dereix AE, Svensson K, et al. Second trimester extracellular microRNAs in maternal blood and fetal growth: an exploratory study. *Epigenetics* 2017; 12:804-10. doi: 10.1080/15592294.2017.1358345.
22. Han K, Gennarino VA, Lee Y, Pang K, Hashimoto-torii K, Choufani S, et al. Human-specific regulation of MeCP2 levels in fetal brains by microRNA miR-483-5p. *Genes Dev* 2013; 27:485-90. doi: 10.1101/gad.207456.112.
23. Mayor-Lynn K, Toloubeydokhti T, Cruz AC, Chegini N. Expression profile of microRNAs and mRNAs in human placentas from pregnancies complicated by preeclampsia and preterm labor. *Reprod Sci* 2011; 18:46-56. doi: 10.1177/19337191103741.
24. Liu Y, Lu C, Zhou Y, Zhang Z, Sun L. Circular RNA hsa\_circ\_0008039 promotes breast cancer cell proliferation and migration by regulating miR-432-5p/E2F3 axis. *Biochem Biophys Res Commun* 2018; 502:358-63. doi: 10.1016/j.bbrc.2018.05.166.
25. Jiang N, Chen WJ, Zhang JW, Xu C, Zeng XC, Zhang T, et al. Downregulation of miR-432 activates Wnt/β-catenin signaling and promotes human hepatocellular carcinoma proliferation. *Oncotarget* 2015; 6:7866. doi: 10.18632/oncotarget.3492.
26. Liu H, Xue L, Song C, Liu F, Jiang T, Yang X. Overexpression of circular RNA circ\_001569 indicates poor prognosis in hepatocellular carcinoma and promotes cell growth and metastasis by sponging miR-411-5p and miR-432-5p. *Biochem Biophys Res Commun* 2018; 503:2659-65. doi: 10.1016/j.bbrc.2018.08.020.
27. Yang G, Han B, Feng T. ZFAS1 knockdown inhibits viability and enhances cisplatin cytotoxicity by up-regulating miR-432-5p in glioma cells. *Basic Clin Pharmacol Toxicol* 2019; 125:518-26. doi: 10.1111/bcpt.13286.